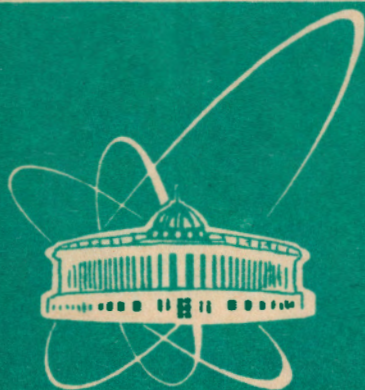


93-244



ОБЪЕДИНЕННЫЙ
ИНСТИТУТ
ЯДЕРНЫХ
ИССЛЕДОВАНИЙ
ДУБНА

P6-93-244

В.М.Дубовик, И.В.Лунегов*, М.А.Марценюк*

ТОРОИДНЫЙ ОТКЛИК
В МАГНИТНОМ РЕЗОНАНСЕ

Направлено в «Journal of Magnetism and Magnetic Materials»

*Пермский государственный университет

1993

В явлении магнитного резонанса наблюдаемой величиной обычно является магнитный момент \vec{M} некоторой выделенной системы спинов [1], который является средним от полного суммарного оператора спина $\vec{S} = \sum_a \vec{S}_a$: $\vec{M} = \langle \vec{S} \rangle$, где угловые скобки обозначают усреднение, как по квантовому состоянию, так и по "ансамблю" спиновых систем. Однако очевидно, что система спинов, распределенных в пространстве, каковой в действительности является ядерная подсистема (для определенности далее обсуждается система ядерных спинов), может описываться в дополнении к дипольному моменту \vec{M} и другими мультиполями – квадрупольным, октупольным и т.д., которые более чувствительны к деталям пространственного распределения спинов. Тем не менее в ядерном резонансе поля высших мультиполей обычно не рассматриваются. Дело в том, что магнитное поле H_l мультиполя l - ранга зависит от координат как $1/r^{2+l}$. Рассматривая макроскопический образец размера L и суммируя поля, создаваемые каждым мультиполем, мы видим, что в дипольном случае (соответствующем $l = 1$) полный дипольный момент растет как ML^3 (здесь M - плотность дипольного момента), а его поле H_1 на границе образца, которое обычно наблюдается в эксперименте, меняется как ML^3/L^3 , то есть оно оказывается пропорциональным намагниченности M . В то же время поле H_l мультиполя более высокого ранга $l > 1$, имеющего объемную плотность Q_l , на границе образца убывает как $H_l \sim Q_l/L^{l-1}$, что и позволяет пренебрегать этим полем.

Однако существует один важный случай, когда поле мультиполя, описывающего систему ядерных спинов, ведет себя подобно полю магнитного диполя. Мы имеем в виду поле тороидного момента, который был введен и подробно исследован в работах [2-4]. Будем рассматривать ядерные спины как совокупность классических магнитных диполей $\vec{m}_a = \langle \vec{S}_a \rangle$ (здесь подразумевается то же самое усреднение, что и при введении суммарного магнитного момента), расположенных в точках пространства \vec{r}_a . Для упрощения рассуждений далее предположим, что начало координат, от которого отсчитываются векторы \vec{r}_a , выбрано в геометрическом центре рассматриваемой системы спинов, то есть предполагается, что

$$\sum_a \vec{r}_a = 0. \quad (1.1)$$

Тороидный момент системы определяется как сумма произведений вида

$$\vec{T} = \frac{1}{2} \sum_a [\vec{r}_a \vec{m}_a]. \quad (1.2)$$

Как показано в работах [2-4] статический (то есть не меняющийся со временем) тороидный момент не создает электрического или магнитного полей, а только

лишь поле векторного потенциала, которое имеет вид

$$\vec{A} = \frac{3\vec{r}(\vec{T}\vec{r}) - \vec{T}r^2}{r^5}. \quad (1.3)$$

Это выражение может быть получено путем суммирования потенциалов \vec{A}_a , которые создаются отдельными магнитными диполями \vec{m}_a , и последующим использованием обычного мультипольного разложения по степеням отношения размера системы к расстоянию до точки наблюдения. Один из вкладов в это разложение определяется тороидным моментом (1.2) и имеет вид (1.3). В ядерном магнитном резонансе средние значения спинов \vec{m}_a являются функциями времени и вместе с ними будет зависеть от времени и тороидный момент $\vec{T}(t)$, а также и создаваемое им поле векторного потенциала (1.3). Но, как известно, производная векторного потенциала по времени пропорциональна электрическому полю

$$\vec{E} = -\frac{1}{c} \dot{\vec{A}} = \frac{\dot{\vec{T}}r^2 - 3\vec{r}(\dot{\vec{T}}\vec{r})}{cr^5}. \quad (1.4)$$

Это поле формально эквивалентно полю электрического диполя \vec{P} , имеющего величину $\vec{P} = -\dot{\vec{T}}/c$, и может обнаруживать свое "тороидное происхождение" только в интерференционных опытах при изучении спектральных характеристик (см. [2], приложение 3). Как и для магнитодипольного случая, поле образца макроскопических размеров L не будет зависеть от L и целиком определится плотностью электрического дипольного момента \vec{P} . Оценивая производную по времени в (1.4) как величину, пропорциональную частоте магнитного резонанса ω , можно видеть, что электрическая составляющая поля отличается от магнитной на множитель, равный безразмерному параметру $a\omega/c$, где a - размер спиновой системы, или, если учесть, что $\lambda = c/\omega$, на множитель a/λ . Частоты ЯМР обычно лежат в диапазоне $\omega \sim 10^6 \dots 10^9$ Гц, что соответствует длинам волн $\lambda \sim 10 \dots 10^4$ см. При размерах $a \sim 1$ см электрическое поле оказывается на несколько порядков меньше магнитного, но оно линейно растет с увеличением частоты резонанса.

Проведенные рассуждения ясно показывают, что следующим после магнитного момента \vec{M} "претендентом" для наблюдения в ЯМР является тороидный момент спиновой системы \vec{T} , причем он определяет электрическую составляющую электромагнитного поля, индуцируемого магнитодипольной системой в окружающем пространстве (мы здесь говорим о том, что поля именно индуцируются, а не излучаются, так как всюду рассматривается поле в "ближней зоне", которое обычно и измеряется в магнитном резонансе). Экспериментальная методика прецизионных измерений электрического поля в магнитном резонансе была недавно разработана и использована для измерения величины обратного влияния квадрупольного поля ядер на электронную подсистему Ханом с сотр. [5].

Целью настоящей работы является последовательный учет в ЯМР тороидного момента системы ядерных спинов. Как можно видеть из (1.2), тороидный момент описывает вихревую составляющую неоднородного распределения спинов в пространстве. Ориентация спинов, при которой тороидный момент максимален (а магнитный момент отсутствует) схематически показана на рис. 1(а).

Такого рода динамическая составляющая периодически возникает в системе дипольно взаимодействующих ядерных спинов во время так называемого спада сигнала свободной индукции, который наступает после импульсного воздействия на систему переменным (однородным по пространству) полем резонансной частоты. Отметим, что задача о возбуждении ядерной системы вихревым полем в условиях "медленного прохождения" интервала частот и в эко-экспериментах рассмотрена в работах авторов [6,7]. Во второй части работы сигнал свободной индукции тороидного момента вычислен в рамках приближенного подхода, когда взаимодействие между спинами учитывается по теории возмущений. При этом в качестве модельной задачи рассматривается система трех ядерных спинов. Как оказалось, тороидный момент этой системы изменяется в противофазе с магнитным моментом. В рамках этого подхода, а также с помощью численного моделирования простых систем с помощью расчетов на ЭВМ удается детально проследить за динамикой каждого спина в процессе спада свободной индукции. При использовании теории возмущений, сводящейся к пренебрежению несекулярными членами диполь-дипольного взаимодействия спинов, все спины прецессируют вокруг постоянного магнитного поля, оставаясь параллельными или антипараллельными друг другу. При этом конфигурация, которая показана на рис. 1(б), возникающая сразу после импульса, с течением времени переходит в конфигурацию, показанную на рис. 1(в), которая описывается тороидным моментом. Эти изменения спиновой конфигурации как раз и отражают возможность появления тороидного эха в ядерном резонансе. При моделировании на ЭВМ диполь-дипольное взаимодействие учитывалось точно (то есть принималась во внимание также и его несекулярная часть). Как выяснилось, в процессе свободной индукции, спины не только меняют свои абсолютные величины, но также и взаимную ориентацию (рис.1(г)). В третьей части работы рассматривается приближенный подход, примененный к произвольной спиновой системе, который учитывает тороидную поляризацию образца. Суть этого подхода состоит в пренебрежении полями всех мультиполей, кроме выделенных. В отличие от теории обычного ЯМР, в основе которого лежат преобразования группы $SU(2)$, в рассматриваемом случае такую же роль играет более широкая группа $SO(4)$, которая более детально описывает динамику спиновой системы. По всей видимости этот подход, учитывающий и магнитную и электрическую составляющие поля системы, может оказаться полезным и при исследовании отклика спиновой системы в обычном случае. В заключении работы обсуждаются некоторые условия наблюдения тороидного отклика в ядерном магнитном резонансе.

2. Тороидный отклик спиновой системы (на примере системы трех спинов)

Рассмотрим систему взаимодействующих спинов, находящихся в постоянном H_0 и переменном $h(t)$ магнитных полях. В этом случае полный спиновый гамильтониан системы можно представить в виде суммы двух частей: невозму-

Рис.1. Схематическое изображение распределения магнитных диполей по пространству, обладающее торoidalным моментом (а). Ориентации средних значений ядерных спинов после воздействия на систему импульсного переменного поля : (б) - сразу после импульса, (в) - спустя некоторое время после импульса - в приближенной картине (секулярное приближение) ; (г) - в точной картине, учитывающей все члены гамильтониана.

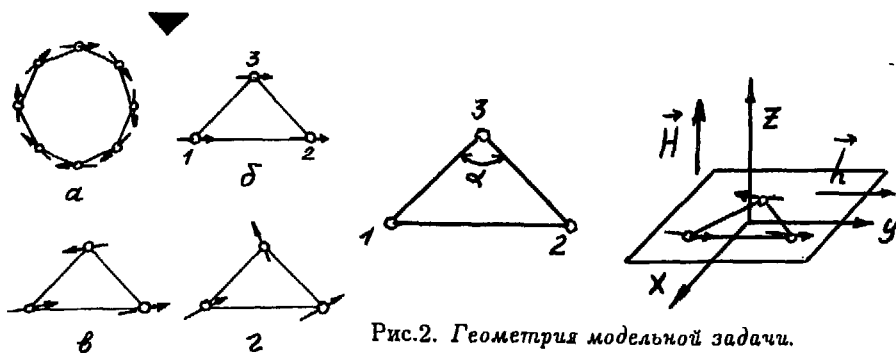


Рис.2. Геометрия модельной задачи.

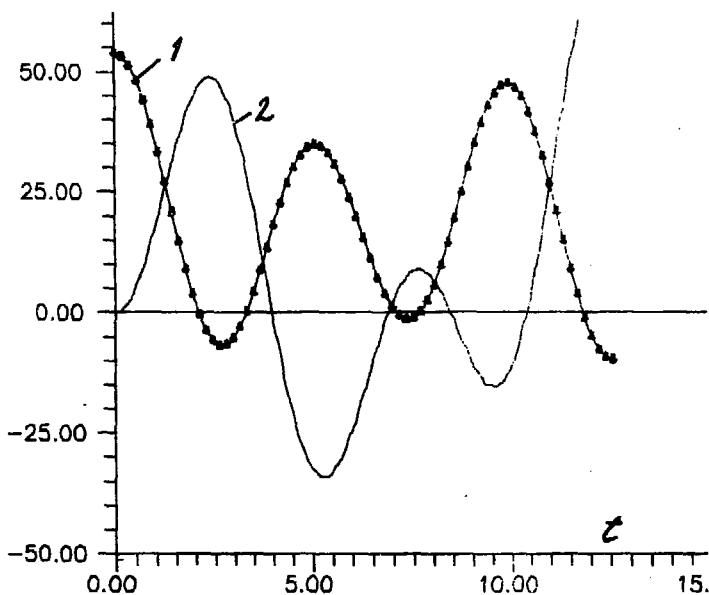


Рис.3. Огибающие спада свободной прецессии магнитного (1) и торoidalного (2) моментов после действия импульса. Для наглядности масштаб кривой 1 увеличен по вертикали в 5 раз.

щенного гамильтониана $\hat{\mathcal{H}}_0$ и возмущения $\hat{V}(t)$

$$\hat{\mathcal{H}} = \hat{\mathcal{H}}_0 + \hat{V}(t); \quad \hat{V}(t) = \hat{\mathcal{H}}_1(t) + \hat{\mathcal{H}}_{dd}, \quad (2.1)$$

где $\hat{\mathcal{H}}_0, \hat{\mathcal{H}}_1(t)$ - операторы, описывающие зеемановское взаимодействия спинов с постоянным и переменным магнитным полем, $\hat{\mathcal{H}}_{dd}$ - оператор диполь-дипольного взаимодействия

$$\hat{\mathcal{H}}_{dd} = -\gamma^2 \hbar^2 \sum_{a < b} A_{ij}(\vec{r}_{ab}) \hat{S}_{a_i} \hat{S}_{b_j}; \quad A_{ij}(\vec{r}) = \frac{r^2 \delta_{ij} - 3x_i x_j}{r^5}. \quad (2.2)$$

Выберем ось Z системы координат вдоль направления постоянного поля и предположим, что переменное магнитное поле действует вдоль оси Y (рис. 2). Тогда операторы $\hat{\mathcal{H}}_0$ и $\hat{\mathcal{H}}_1(t)$ будут иметь вид :

$$\hat{\mathcal{H}}_0 = -\gamma \hbar H_z \hat{S}_z; \quad \hat{\mathcal{H}}_1(t) = -\gamma \hbar h(t) \hat{S}_y, \quad (2.3)$$

где $\hat{S}_i = \sum_a \hat{S}_{a_i}$ - компоненты оператора полного спина. В дальнейшем, для упрощения записи, выберем систему единиц, в которой гиромагнитное отношение γ и постоянная Планка \hbar равны единице ($\gamma = 1, \hbar = 1$).

Будем искать отклик спиновой системы на импульсное воздействие однородного по пространству переменного (РЧ) поля. Эволюция системы со временем определяется матрицей плотности $\hat{\rho}(t)$, которая описывает состояние системы в произвольный момент времени. Как известно [1], $\hat{\rho}(t)$ удовлетворяет уравнению Лиувилля

$$\frac{d}{dt} \hat{\rho}(t) = i[\hat{\rho}(t), \hat{\mathcal{H}}], \quad (2.4)$$

решение которого может быть записано в виде :

$$\hat{\rho}(t) = \hat{U}(t, 0) \hat{\rho}(0) \hat{U}^\dagger(t, 0), \quad (2.5)$$

где $\hat{U}(t, 0)$ - оператор эволюции, $\hat{\rho}(0)$ - равновесная матрица плотности в начальный момент времени, которая в пренебрежении малой разностью населенностей уровней энергии, обусловленных диполь-дипольным взаимодействием, может быть записана в виде :

$$\hat{\rho}(0) = \frac{1}{Z} e^{-\hat{\mathcal{H}}_0 \beta}; \quad Z = Sp\{e^{-\hat{\mathcal{H}}_0 \beta}\}; \quad 1/\beta = k_B T^\circ. \quad (2.6)$$

На временной оси событий можно выделить два интервала $(0, t_p)$ и (t_p, t) . Первый из них соответствует периоду приготовления системы, а второй - периоду отклика или спаду свободной прецессии. На стадии приготовления спиновая система подвергается воздействию импульса РЧ-поля. Предположим, как это обычно делается, что интенсивность импульса настолько велика, что выполняется неравенство $\|\hat{\mathcal{H}}_1\| \gg \|\hat{\mathcal{H}}_{dd}\|$, а длительность импульса t_p мала, так что эффекты, связанные с присутствием взаимодействия, не успеют проявиться на интервале $(0, t_p)$, и диполь-дипольным взаимодействием на первой стадии можно

пренебречь. На интервале (t_p, t) взаимодействием пренебрегать нельзя, несмотря на большую величину постоянного магнитного поля. Действуя в течение многих периодов прецессии спинов, это взаимодействие проявляется в их расфазировке.

Оператор $\hat{\mathcal{H}}_1(t)$ содержит зависимость от времени, от которой можно избавиться, если перейти во вращающуюся систему координат (ВСК), считая, что частота переменного поля ω совпадает с частотой $\omega_0 = H_0$ ("частота резонанса"), определяющей расстояния между уровнями энергии невозмущенного гамильтониана

$$\hat{\mathcal{H}}'_1 = \hat{Q}_z^+(t)\hat{\mathcal{H}}_1(t)\hat{Q}_z(t); \quad \hat{Q}_z(t) = e^{i\omega_0\hat{S}_z t}. \quad (2.7)$$

Переход в ВСК здесь обозначен штрихом над оператором $\hat{\mathcal{H}}_1$. Используя (2.3) и предполагая, что $h(t) = h \exp\{i\omega t\}$, получаем, что в ВСК на интервале $(0, t_p)$ будет действовать оператор $\hat{\mathcal{H}}'_1 = h\hat{S}_y$.

Так как операторы $\hat{\mathcal{H}}'_1$ и $\hat{\mathcal{H}}_{dd}$ действуют в разные периоды эволюции системы, то оператор $\hat{U}(t, 0)$ может быть записан в виде произведения двух операторов эволюции $\hat{U}(t_p, 0)$ и $\hat{U}(t, t_p)$, действующих на интервалах $(0, t_p)$ и (t_p, t) соответственно

$$\hat{U}(t, 0) = \hat{U}(t, t_p)\hat{Q}_z(t_p)\hat{U}(t_p, 0), \quad (2.8)$$

где $\hat{U}(t_p, 0) \equiv \hat{U}(t_p)$ и $\hat{U}(t, t_p) = \hat{U}(t - t_p) \equiv \hat{U}(\tau)$ имеют вид :

$$\begin{aligned} \hat{U}(t_p) &= \exp\{-ih\hat{S}_y t_p\}; & \hat{U}(\tau) &= \exp\{-i\hat{\mathcal{H}}_f \tau\}; \\ \hat{\mathcal{H}}_f &= \hat{\mathcal{H}}_0 + \hat{\mathcal{H}}_{dd}; & \tau &= t - t_p. \end{aligned} \quad (2.9)$$

Подставив явный вид оператора $\hat{U}(t, 0)$ в выражение (2.5), получим

$$\hat{\rho}(t) = \hat{U}(\tau)\hat{Q}_z(t_p)\hat{U}(t_p)\hat{\rho}(0)\hat{U}^+(t_p)\hat{Q}_z^+(t_p)\hat{U}^+(\tau). \quad (2.10)$$

Используя высокотемпературное приближение $\omega_0\beta \ll 1$ (которое обычно удовлетворяется для системы ядерных спинов), матрицу плотности $\hat{\rho}(0)$ в (2.6) можно представить в виде ряда, оставляя только первые члены разложения

$$\hat{\rho}(0) = \frac{1}{Sp\{\hat{1}\}}\{\hat{1} - \hat{\mathcal{H}}_0\beta\}. \quad (2.11)$$

где $\hat{\mathcal{H}}_0$ определяется формулой (2.3). В этом случае действие операторов эволюции $\hat{U}(t_p)$ и $\hat{U}^+(t_p)$ на матрицу плотности (2.11) сводится к преобразованию поворота вокруг РЧ-поля на угол $\varphi = ht_p$. Если длительность импульса t_p подобрана таким образом, что $\varphi = \pi/2$, то по окончании действия импульса матрица плотности $\hat{\rho}(t_p)$ во вращающейся системе координат (что мы отмечаем штрихом) будет иметь вид :

$$\hat{\rho}'(t_p) = \frac{1}{Sp\{\hat{1}\}}\{\hat{1} - \hat{S}_z\beta\}; \quad \hat{\rho}(t_p) = \hat{Q}_z(t_p)\hat{\rho}'(t_p)\hat{Q}_z^+(t_p). \quad (2.12)$$

В соответствии с полученными формулами, среднее значение оператора торондного момента \vec{T} на стадии свободной прецессии будет определяться выражением

$$T_i = Sp\{\rho(t)\hat{T}_i\} = -\Re e^{i\omega_0 t_p} Sp(e^{i\hat{H}_f t} \hat{S}_+ e^{-i\hat{H}_f t} \hat{T}_i), \quad (2.13)$$

где введен оператор $\hat{S}_+ = \hat{S}_x + i\hat{S}_y$ и изменено начало отсчета времени (за нуль выбран момент $t = t_p$). Таким образом, задача сводится к исследованию эволюции системы, описываемой гамильтонианом \hat{H}_f (2.9). В представлении собственных состояний гамильтониана \hat{H}_f оператор $\exp\{i\hat{H}_f t\}$ имеет диагональный вид, при чем элементы, стоящие на главной диагонали, равны $e^{iE_n t}$, где E_n - собственное значение \hat{H}_f . Обозначая условно эту матрицу символом $[e^{iE_n t}]$, получим:

$$e^{i\hat{H}_f t} = \mathcal{V}[e^{iE_n t}]\mathcal{V}^{-1}, \quad (2.14)$$

где \mathcal{V} - унитарная матрица преобразования к энергетическому представлению. Собственные значения оператора \hat{H}_f , могут быть определены приближенно с помощью теории возмущений [8], причем возмущением считается диполь-дипольное взаимодействие. Однако сложность заключается в том, что энергетический спектр невозмущенного гамильтониана \hat{H}_0 вырожден, и поэтому обычная теория возмущений (для невырожденного спектра) здесь не применима. Состояния системы трех спинов ($S_a = 1/2$), которые мы далее будем обсуждать, можно классифицировать по величине полного момента $S = 1/2, 3/2$, его проекции на направление поля $S_z = M$, где $M = -S, -S + 1, \dots, S$ и дополнительного квантового числа $j = 1, 0$. При этом уровни энергии $E_n^{(0)} = -\omega_0 M$ зависят только от M . Таким образом, из восьми возможных стационарных состояний системы два не вырождены ($S = 3/2, M = \pm 3/2, j = 1$), а остальные шесть состояний разбиваются на две группы трехкратно вырожденных состояний, причем в одной группе $M = 1/2$, а в другой $M = -1/2$. Это вырождение снимается диполь-дипольным взаимодействием. Представим собственные значения E_n оператора \hat{H}_f в первом приближении теории возмущений в виде суммы двух слагаемых

$$E_n = E^{(0)} + E_n^{(1)}, \quad (2.15)$$

где $E^{(0)}$ - вырожденное собственное значение для данной группы трех состояний невозмущенного гамильтониана \hat{H}_0 , $E_n^{(1)}$ - поправки первого порядка к вырожденным уровням энергии, вносимые возмущением \hat{H}_{dd} . Здесь и далее верхний индекс в скобках указывает порядок теории возмущений. "Правильные" собственные функции Ψ_n невозмущенного гамильтониана в нулевом приближении теории возмущений будем искать в виде линейной комбинации собственных функций $\Psi_n^{(0)}$, относящихся к одному и тому же собственному значению энергии $E^{(0)}$

$$\Psi = \sum_n c_n^{(0)} \Psi_n^{(0)}. \quad (2.16)$$

Подставив (2.15) и (2.16) в уравнение Шредингера $\hat{H}_f \Psi = E\Psi$, получим уравнение для коэффициентов $c_n^{(0)}$ и поправок к энергии $E^{(1)}$

$$\sum_{n'} (V_{nn'} - E^{(1)} \delta_{nn'}) c_{n'}^{(0)} = 0, \quad (2.17)$$

где $V_{nn'}$ - матричные элементы оператора возмущения \hat{H}_{dd} , определенного выражением (2.2). Как было установлено, в матричные элементы $V_{nn'}$, связывающие вырожденные уровни энергии невозмущенного гамильтониана \hat{H}_0 , дает вклад только секулярная часть диполь-дипольного взаимодействия (2.2) (ср. [1]). Из условия равенства нулю определителя системы (2.17) получаем поправки к энергии первого порядка, одинаковые для обоих вырожденных уровней с $M = \pm 1/2$

$$E_1^{(1)} = 0; \quad E_{2,3}^{(1)} = -\frac{1}{2}(A_{12} + A_{13} + A_{23}) \pm \frac{\sqrt{3}}{2} \sqrt{(A_{12} - A_{13} - A_{23})^2 + (-A_{12} + A_{13} - A_{23})^2 + (-A_{12} - A_{13} + A_{23})^2}, \quad (2.18)$$

где обозначено $A_{ab} \equiv A_{zz}(r_{ab})$ (здесь тензор $A_{ik}(r_{ab})$ определен соотношением (2.2)); индексы нумеруют взаимодействующие частицы. Таким образом, наличие диполь-дипольного взаимодействия полностью снимает вырождение уровней энергии невозмущенного гамильтониана, за исключением одного случая, когда все спины расположены в вершинах правильного треугольника. В этом случае $A_{ab} = A$ и значения $E_1^{(1)} = E_2^{(1)} = 0$, а $E_3^{(1)} = -3A$.

Для собственных векторов при произвольной конфигурации спинов получают громоздкие выражения, но они существенно упрощаются, если предположить, что все спины расположены в вершинах равнобедренного треугольника с углом α при вершине (рис. 2). В этом случае компоненты тензора $A_{zz}(r_{ab})$ будут иметь вид :

$$A_{ab} = A_{zz}(r_{ab}) = \frac{(1 - 3\cos^2\theta_{ab})}{r_{ab}^3}, \quad (2.19)$$

причем в силу симметрии треугольника $A_{13} = A_{23}$. Далее для краткости мы обозначим $A_{12} \equiv a$ и $A_{13} \equiv b$, что позволяет записать (2.18) в виде :

$$E_1^{(1)} = 0; \quad E_{2,3}^{(1)} = -\frac{1}{2}(a + 2b) \pm \sqrt{\left(\frac{3}{2}a - b\right)^2 + 2b^2}. \quad (2.20)$$

Тогда правильные волновые функции оператора \hat{H}_I , соответствующие собственным значениям $E_n^{(1)}$, в базисе состояний не взаимодействующих спинов будут иметь вид :

$$\begin{aligned} \Psi_1 &= (0; -1/\sqrt{2}; 1/\sqrt{2}); \\ \Psi_2 &= (\cos\theta; 1/\sqrt{2}\sin\theta; 1/\sqrt{2}\sin\theta); \\ \Psi_3 &= (-\sin\theta; 1/\sqrt{2}\cos\theta; 1/\sqrt{2}\cos\theta), \end{aligned} \quad (2.21)$$

где угол θ определяется соотношениями

$$\cos 2\theta = \frac{3/2a - b}{\Delta\omega}; \quad \sin 2\theta = \frac{\sqrt{2}b}{\Delta\omega}; \quad \Delta\omega = \sqrt{\left(\frac{3}{2}a - b\right)^2 + 2b^2}. \quad (2.22)$$

Так как для обоих вырожденных собственных значений оператора \hat{H}_0 получают аналогичные собственные векторы и собственные значения, матрица перехода к энергетическому представлению (V), может быть представлена в виде

произведения некоторых матриц, каждая из которых имеет блок-диагональный вид. Данное преобразование позволяет привести выражение (2.13) к виду :

$$T_i(t) = -\Re e e^{i\omega_0 t} Sp\{(S_+)_{nn'}(T_i)_{nn'}e^{i(E_{n'}-E_n)t}\}, \quad (2.23)$$

где $(S_+)_{nn'}$ и $(T_i)_{nn'}$ - матрицы операторов \hat{S}_+ и \hat{T}_i в энергетическом представлении.

Из этого выражения следует, что величину тороидного отклика можно оценить по величине шпура $Sp\{\hat{S}_+\hat{T}_i\}$. Этот шпур будет отличен от нуля при совпадении хотя бы некоторых матричных элементов операторов \hat{S}_x , \hat{S}_y и \hat{T}_i . В работе [6] были подробно изучены свойства операторов \hat{S} и \hat{T} и вычислены их приведенные матричные элементы. В результате было установлено, что операторы \hat{S} и \hat{T} имеют общие матричные элементы для значения полного спина $S = 1/2$, которые удовлетворяют правилам отбора

$$\Delta S = 0; \quad \Delta M = \pm 1. \quad (2.24)$$

При этом приведенные матричные элементы оператора \hat{T}_i для этих двух значений S равны $\langle 1/2 | \hat{T}_i | 1/2 \rangle = \pm\sqrt{6}r_{3i}$. Таким образом, средний тороидный момент \bar{T} в выражении (2.23) будет отличен от нуля и пропорционален координатам одного из спинов.

Выделив в явном виде быструю и медленную зависимости от времени, приведем окончательные выражения для всех трех компонент тороидного момента, которые следуют из (2.23)

$$\begin{aligned} T_x(t) &= \sin(\omega_0 t)r_{3\parallel}F_T(t); & T_y(t) &= \cos(\omega_0 t)r_{3\parallel}F_T(t); \\ T_z(t) &= \sin(\omega_0 t + \xi_3)r_{3\perp}F_T(t), \end{aligned} \quad (2.25)$$

где $r_{3\parallel}$, $r_{3\perp}$ - параллельная и перпендикулярная внешнему магнитному полю составляющие радиус-вектора \vec{r}_3 третьего спина (см. рис. 2), ξ_3 угол между осью X и радиусом-вектором \vec{r}_3 (напомним, что компоненты всех векторов \vec{r}_a берутся относительно геометрического центра и связаны соотношением (1.1)). Функция $F_T(t)$ в выражении (2.25) определяет медленную зависимость от времени или спад свободной прецессии тороидного момента \bar{T}

$$F_T(t) = 4\tau_1(\cos(3\lambda - \Delta\omega)t - \cos(3\lambda + \Delta\omega)t) + 2\tau_2(1 - \cos(2\Delta\omega)t), \quad (2.26)$$

где $\lambda = (a + 2b)/2$, а коэффициенты τ_i имеют вид :

$$\tau_1 = \cos 2\theta - \frac{1}{2\sqrt{2}}\sin 2\theta; \quad \tau_2 = 2\cos^2 2\theta - \frac{1}{2}\sin^2 2\theta + \frac{1}{\sqrt{2}}\sin 2\theta \cos 2\theta. \quad (2.27)$$

Для сравнения, в том же приближении была вычислена зависимость магнитного момента от времени, которая также представлена в виде произведения быстрой и медленно осциллирующих функций

$$M_j(t) = \cos(\omega_0 t + \zeta_j)F_M(t);$$

$$F_M(t) = \mu_1 \cos(3\lambda - \Delta\omega)t + \mu_2 \cos(3\lambda + \Delta\omega)t + \mu_3 + \mu_4 \cos(2\Delta\omega)t. \quad (2.28)$$

где коэффициенты μ_i имеют вид

$$\begin{aligned} \mu_1 &= 4(\cos\theta - \sqrt{2}\sin\theta)^2; & \mu_3 &= 4(2 + 2\sqrt{2}\sin 2\theta(\frac{7\sqrt{2}}{8}\sin 2\theta + \cos 2\theta)); \\ \mu_2 &= 4(\sin\theta + \sqrt{2}\cos\theta)^2; & \mu_4 &= 4(2 - \sqrt{2}\sin 2\theta(\frac{7\sqrt{2}}{8}\sin 2\theta + \cos 2\theta)), \end{aligned} \quad (2.29)$$

здесь фаза ζ_j зависит от компоненты магнитного момента : $\zeta_x = 0$ для $M_x(t)$ и $\zeta_y = -\pi/2$ для $M_y(t)$. Таким образом, суммарный магнитный момент прецессирует с большой частотой в плоскости, перпендикулярной постоянному магнитному полю, одновременно изменяясь по абсолютной величине. Функции $F_M(t)$ и $F_T(t)$ описывают спад свободной индукции тороидного и магнитного моментов системы трех спинов. Эти функция показаны на рис.3 для системы спинов, расположенных в вершинах равнобедренного треугольника с углом $\alpha = \pi/2$, ориентированного перпендикулярно постоянному магнитному полю (рис. 2).

Переходя к описанию тороидного отклика, заметим, что функция $F_T(t)$, определяющая медленную зависимость от времени выражения (2.26), удовлетворяет следующим условиям : во-первых, по окончании действия импульса, в момент времени $t = t_p$, функция $F_T(t)$ обращается в нуль. Это свойство объясняется тем, что по окончании действия импульса все магнитные моменты, имея одинаковую длину, направлены вдоль оси X . Во-вторых, значение функции $F_T(t)$ зависит от коэффициентов τ_i , которые обращаются в нуль при $\alpha = \pi/3$. Графики зависимости коэффициентов τ_i от угла α приведены на рис.4а. На рис.4б, для сравнения, приведены графики зависимости коэффициентов μ_i от угла α . Если разложить функции $T_i(t)$ и $M_i(t)$ в ряд Фурье, то коэффициенты τ_i и μ_i будут являться амплитудами фурье - гармоник. На рис.5а и рис.5б приведены спектры, полученные после фурье - преобразования спада свободной прецессии магнитного и тороидного моментов для угла $\alpha = \pi/2$.

Как уже было сказано во введении, наблюдаемой величиной в эксперименте является не тороидный момент системы, а индуцируемое им электрическое поле (1.4), которое пропорционально производной тороидного момента по времени. Взяв производные от функций T_i получим

$$\begin{aligned} \dot{T}_x(t) &= \omega_0 \cos(\omega_0 t) r_{3\parallel} F_T(t) + \sin(\omega_0 t) r_{3\parallel} \dot{F}_T(t); \\ \dot{T}_y(t) &= -\omega_0 \sin(\omega_0 t) r_{3\parallel} F_T(t) + \cos(\omega_0 t) r_{3\parallel} \dot{F}_T(t); \\ \dot{T}_z(t) &= \omega_0 \cos(\omega_0 t + \xi_3) r_{3\perp} F_T(t) + \sin(\omega_0 t + \xi_3) r_{3\perp} \dot{F}_T(t), \end{aligned} \quad (2.30)$$

где производная от функции $F_T(t)$ имеет вид :

$$\begin{aligned} \dot{F}_T(t) &= 4\tau_1(-(3\lambda - \Delta\omega)\sin(3\lambda - \Delta\omega)t + \\ &+ (3\lambda + \Delta\omega)\sin(3\lambda + \Delta\omega)t) + 2\tau_2(1 + (2\Delta\omega)\sin(2\Delta\omega)t). \end{aligned} \quad (2.31)$$

Из выражения (2.30) видно, что производная от тороидного момента по времени содержит два вида слагаемых, пропорциональных ω_0 и $\Delta\omega$ соответственно. Так

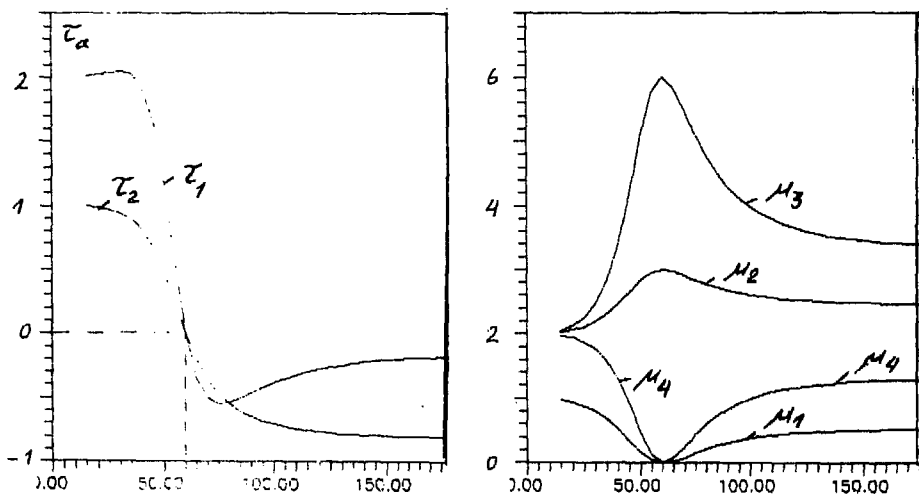


Рис.4. Зависимости коэффициентов τ_i (а) и μ_i (б) от угла α равнобедренного треугольника соответственно для торoidalного и магнитного откликов.

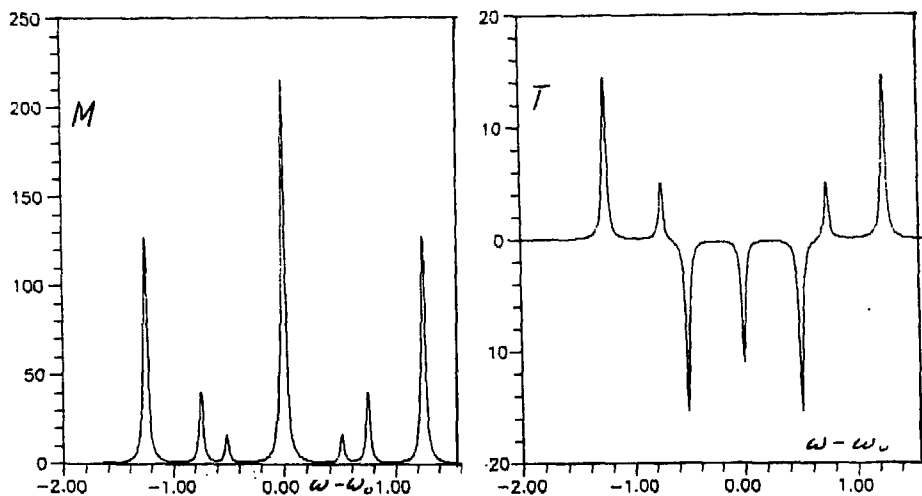


Рис.5. Спектральные линии, полученные после фурье-преобразования сигналов свободной прецессии магнитного (а) и торoidalного (б) моментов. Для наглядности в спектры искусственно введена ширина линии.

как $\omega_0 \gg \Delta\omega$ (при наличии постоянного магнитного поля это неравенство всегда справедливо), то основной вклад в электрическое поле, индуцируемое осциллирующим тороидным моментом, будут вносить слагаемые, содержащие ω_0 . В этом случае индуцируемое электрическое поле $\vec{E}(t)$ будет пропорционально выражению

$$\vec{E}(t) \approx \vec{C}f(t)F_T(t), \quad (2.38)$$

где \vec{C} - векторная величина, описывающая пространственные характеристики спиновой системы и условия наблюдения отклика, $f(t)$ - быстроосциллирующая функция времени, которая определяется линейной комбинацией $\sin\omega_0 t$ и $\cos\omega_0 t$, функция $F_T(t)$ имеет вид (2.26). На основании вышеизложенного весь последующий анализ, касающийся поведения индуцированного электрического поля можно проводить на языке тороидного момента (а не его производной $d\vec{T}/dt$), так как $\vec{E}(t)$ и $\vec{T}(t)$ изменяются со временем по одинаковому закону.

Как видно из выражения (2.30), на стадии свободной прецессии тороидный момент вращается в некоторой плоскости, ориентация которой определяется параметрами пространственного расположения спинов. Если спины находятся в плоскости, перпендикулярной постоянному магнитному полю, тороидный момент может иметь только z -компоненту, независимо от ориентации спинов в этой плоскости. Если же ориентация треугольника выбрана таким образом, что радиус-вектор \vec{r}_3 третьего спина имеет только z -компоненту, тогда тороидный момент будет вращаться в плоскости, перпендикулярной постоянному магнитному полю. Так как в общем случае тороидный момент имеет все три компоненты, он может применяться при исследовании диффузионных процессов в ядерных спиновых системах. Медленная зависимость z -компоненты тороидного момента от времени для системы спинов, находящихся в вершинах равнобедренного треугольника с углом при вершине $\pi/2$, изображен на рис.3 (на этом же рисунке для сравнения приведен спад свободной прецессии ядерной намагниченности).

Спад свободной прецессии магнитного и тороидного моментов может быть объяснен с точки зрения движения магнитных моментов отдельных ядер. В секулярном приближении было установлено, что на стадии свободной прецессии магнитные моменты вращаются с одинаковой частотой, оставаясь все время параллельными друг другу (учет несекюлярных членов приводит к нарушению параллельной структуры), изменению подвергается только длина магнитных моментов. Изменение длины магнитных моментов происходит, вообще говоря, с разной скоростью, именно по этой причине происходит формирование тороидного момента, поведение которого описано выше.

На основе приведенных выше рассуждений, можно провести качественный анализ поведения суммарных магнитного и тороидного моментов спиновой системы на стадии свободной прецессии, изобразив на конкретном примере ориентации магнитных моментов в различные моменты времени в ВСК. Рассмотрим систему спинов, находящихся в вершинах равнобедренного треугольника с $\alpha = \pi/2$ при вершине, плоскость треугольника расположена перпендикулярно постоянному магнитному полю. В начальный момент времени $t = t_p$ длины всех магнитных моментов одинаковы и имеют максимальное значение, в этом слу-

чае $|\vec{M}| = \max$, а $|\vec{T}| = 0$, в некоторый последующий момент времени $t = t_1$, магнитный момент \vec{m}_3 будет направлен в сторону, противоположную двум другим, а его длина будет равна $|\vec{m}_3| = (|\vec{m}_1| + |\vec{m}_2|)$, при этом $|\vec{M}| = 0$, а $|\vec{T}| \neq 0$. Далее, в момент времени $t = t_2$ сохраняется прежняя относительная ориентация магнитных моментов, а их длины удовлетворяют неравенству $|\vec{m}_3| > (|\vec{m}_1| + |\vec{m}_2|)$, при этом оба момента - тороидный и магнитный - отличны от нуля ($|\vec{M}| \neq 0$ и $|\vec{T}| \neq 0$). Тороидный момент $|\vec{T}|$ достигает своего максимального значения в некоторый момент времени ($t_3 > t_2$).

Кроме аналитических расчетов, основанных на теории возмущений, было проведено также численное моделирование динамики системы на ЭВМ. Было установлено, что учет несекулярных членов диполь-дипольного взаимодействия проявляется в виде нарушения параллельной структуры магнитных моментов, которое, в рассмотренном модельном случае, не сказывается существенно на изменении со временем наблюдаемых величин.

3. SO(4)-динамика спиновой системы

В предыдущем разделе тороидный отклик спиновой системы был рассмотрен на конкретном примере системы из трех спинов путем прямого решения уравнения Шредингера. В этом разделе мы используем приближенный подход, в котором вводится описание системы с помощью небольшого числа наблюдаемых величин (компонент магнитного и тороидного моментов), что дает возможность рассмотреть произвольную систему спинов с учетом их взаимодействия. Основанием для такого приближенного подхода, в котором, грубо говоря, не рассматриваются высшие мультиполи, служит тот факт, что поля этих мультиполей быстро спадают с расстоянием, как это обсуждалось во Введении. Наша задача заключается в том, чтобы получить наглядную картину спиновой динамики с учетом тороидного момента, которая является обобщением известной картины прецессии спинов вокруг направления магнитного поля [1].

На первом шаге построения приближенного описания введем вместо спиновых операторов ядер \hat{S}_a ($a = 1, 2, \dots, n$) операторы мультипольных моментов системы в соответствии с определением (см. также [9]).

$$\hat{T}_{i_1 i_2 \dots i_k j} = \sum_a x_{a i_1} x_{a i_2} \dots x_{a i_k} \hat{S}_{a j}. \quad (3.1)$$

Это выражение можно рассматривать как некоторое линейное преобразование (вообще говоря, не ортогональное и не унитарное) от $3n$ переменных $\hat{S}_{a j}$ к другим $3n$ переменным \hat{T}_{LM} . Для удобства рассуждений вместо декартовых компонент мультипольных моментов, использованных в (3.1), здесь введены их сферические компоненты; как обычно считается, что индекс L может принимать целые положительные значения, а индекс M пробегает значения от $-L$ до L (см. подробнее [9]). Так как имеется конечное число операторов $\hat{S}_{a j}$, то и число независимых операторов \hat{T}_{LM} также конечно. Если выбрать некоторую конеч-

ную совокупность $3n$ компонент \hat{T}_{LM} , которые выражаются через \hat{S}_{aj} с помощью невырожденного линейного преобразования вида

$$\hat{T}_{LM} = \sum_{aj} U_{LMaj} \hat{S}_{aj}, \quad (3.2)$$

то обращая это соотношение, то есть выражая \hat{S}_{aj} через \hat{T}_{LM} , получим

$$\hat{S}_{aj} = \sum U_{ajLM}^{-1} \hat{T}_{LM}. \quad (3.3)$$

Мы можем с помощью (3.1) выразить все остальные моменты только через "отобранные" \hat{T}_{LM} .

Подчеркнем, что переход к новым операторам является точным, так как в этих преобразованиях не использовалось каких бы то ни было приближений. Так, например, для системы, состоящей из четырех спинов, не лежащих в одной плоскости, вместо 12 операторов \hat{S}_{ai} ($a = 1, 2, 3, 4; i = 1, 2, 3$) мы можем ввести следующие 12 операторов моментов

$$\hat{\tilde{S}} = \sum_a \hat{\tilde{S}}_a; \quad \hat{\tilde{T}} = \frac{1}{2} \sum_a [\vec{r}_a \hat{\tilde{S}}_a]; \quad (3.4)$$

$$\hat{q} = \sum_a (\vec{r}_a \hat{\tilde{S}}_a); \quad \hat{Q}_{ik} = \sum_a (x_{ai} \hat{\tilde{S}}_{ak} + x_{ak} \hat{\tilde{S}}_{ai}) - \frac{2}{3} \hat{q} \delta_{ik},$$

где $\hat{\tilde{S}}$, $\hat{\tilde{T}}$, \hat{Q}_{ik} и \hat{q} - соответственно полный спин, тороидный и квадрупольный моменты и магнитный "заряд". Все остальные мультиполи системы могут быть линейно выражены через эти операторы с помощью формулы (3.1) после обращения этих выражений.

Предполагая, что переход к "отобранным" мультиполям уже выполнен и что найдено обратное преобразование (3.3), мы можем выразить оператор Гамильтона рассматриваемой системы через операторы мультипольных моментов в виде

$$\hat{\mathcal{H}} = - \sum_{LM} h_{LM} \hat{T}_{LM} + \sum_{LML'M'} a_{LML'M'} \hat{T}_{L'M'} \hat{T}_{LM}, \quad (3.5)$$

где матрица $a_{LML'M'}$ целиком определяется пространственным расположением спинов, а h_{LM} пропорционально внешнему полю.

Будем считать, что операторы полного спина системы $\hat{\tilde{S}}$ и тороидного момента $\hat{\tilde{T}}$ включены в число отобранных операторов \hat{T}_{LM} . Учитывая малость полей, создаваемых высшими мультиполями, в простейшем приближении мы можем не учитывать их вклад в гамильтониан (3.5), что позволяет записать его в виде

$$\hat{\mathcal{H}} = -\vec{H}_0 \hat{\tilde{S}} + a_{ik} \hat{S}_i \hat{S}_k + b_{ik} \hat{S}_i \hat{T}_k + c_{ik} \hat{T}_i \hat{T}_k, \quad (3.6)$$

где по сравнению с (3.5) отброшены слагаемые, включающие взаимодействие $\hat{\tilde{S}}$ и $\hat{\tilde{T}}$ с мультиполями высших порядков, а также взаимодействие этих мультиполей между собой. Отметим, что тензоры a_{ik} , b_{ik} и c_{ik} в выражении (3.6) определяются геометрией системы, при этом a_{ik} и b_{ik} - это полярные (истинные) тензоры,

а s_{ik} - псевдотензор, это следует из того, что операторы \hat{S} и \hat{T} имеют разную пространственную четность. Очевидно, что смешанный член будет присутствовать в гамильтониане, когда расположение спинов является киральным.

Динамика спиновой системы на стадии свободной индукции целиком определяется гамильтонианом (3.6) и соотношениями коммутации между операторами моментов \hat{S}_i и \hat{T}_k . Для получения этих соотношений будем исходить из того, что коммутаторы операторов отдельных спинов имеют вид

$$[\hat{S}_{ai}, \hat{S}_{aj}] = i\delta_{ab}e_{ijk}\hat{S}_{ak}. \quad (3.7)$$

Используя связь между операторами \hat{S}_{aj} и операторами \hat{S}_i и \hat{T}_k , с помощью (3.7) получаем

$$\begin{aligned} [\hat{S}_i, \hat{S}_j] &= ie_{ijk}\hat{S}_k; & [\hat{S}_i, \hat{T}_k] &= \frac{1}{2}i \sum_a (x_{ai}\hat{S}_{aj} - \delta_{ij}x_{ak}\hat{S}_{ak}); \\ [\hat{T}_i, \hat{T}_j] &= \frac{1}{4}ie_{ijk} \sum_a x_{ak}x_{ai}\hat{S}_{al}. \end{aligned} \quad (3.8)$$

Таким образом, эти соотношения оказываются не замкнутыми относительно операторов \hat{S}_i и \hat{T}_k и включают мультиполи высших порядков. Если, как и при получении гамильтониана (3.6), в правых частях соотношений (3.6) отбросить операторы всех мультиполей, кроме \hat{S}_i и \hat{T}_k , то эти соотношения можно переписать в виде

$$[\hat{S}_i, \hat{S}_j] = ie_{ijk}\hat{S}_k; \quad [\hat{S}_i, \hat{T}_j] = \frac{1}{4}ie_{ijk}\hat{T}_k; \quad [\hat{T}_i, \hat{T}_j] = 0. \quad (3.9)$$

Из этих соотношений следует, что операторы \hat{S}_i и \hat{T}_j образуют алгебру Ли, изоморфную алгебре группы движений 3-мерного пространства $M(3)$.

Полученное таким образом приближенное описание системы спинов, включающее гамильтониан (3.6) и коммутационные соотношения (3.9), неудобно для дальнейшей интерпретации, так как неприводимые представления некомпактной группы $M(3)$ бесконечномерны. Поэтому далее мы будем использовать более точное приближение, позволяющее с вариационной точностью учесть и отброшенные высшие мультиполи. Это позволяет, как мы увидим, компактифицировать группу симметрии, на которой разыгрывается динамика спиновой системы. Чтобы найти приближенную связь между операторами спинов частиц и моментами \hat{S}_i и \hat{T}_j , заменяющую точное соотношение (3.3), запишем приближенное соотношение

$$\hat{S}_a = \hat{\mu} + [\hat{T}\hat{r}_a], \quad (3.10)$$

где $\hat{\mu}$ и \hat{r} - некоторые вспомогательные операторы, которые подлежат определению (см. также [9]). Если бы мы включили в (3.10) и другие степени векторов \hat{r}_a , то соотношение (3.10) было бы точным. Чтобы найти вид операторов $\hat{\mu}$ и \hat{r} , будем решать систему $3n$ линейных уравнений (3.10) методом наименьших квадратов. С этой целью сначала вычислим сумму уравнений (3.10) по индексу a , что позволяет получить связь между операторами $\hat{\mu}$ и \hat{S} , а затем умножим

каждое уравнение векторно на \vec{r}_a и снова найдем их сумму, что с учетом соотношения (1.1) дает возможность найти связь между $\vec{\hat{T}}$ и $\vec{\hat{T}}$. Таким образом, получаем

$$\hat{S}_i = n\hat{\mu}_i; \quad \hat{T}_i = \frac{1}{2}I_{ik}\hat{r}_k; \quad I_{ik} = \frac{1}{n} \sum_a (r_a^2 \delta_{ik} - x_{ai}x_{ak}), \quad (3.11)$$

где введен тензор 2-ранга I_{ik} , формально совпадающий с тензором инерции n частиц, находящихся в точках расположения ядерных спинов \vec{r}_a и имеющих одинаковые массы $1/n$. Отметим, что тензор I_{ik} симметричен и имеет положительные и не равные нулю главные значения (то есть матрица I_{ik} симметрична и невырождена).

Выразим в точном гамильтониане спиновой системы и в точных коммутационных соотношениях операторов \hat{S}_i и \hat{T}_k (3.8) операторы \hat{S}_{ai} через операторы \hat{S}_i и \hat{T}_k , пользуясь соотношениями (3.10), (3.11). В результате гамильтониан примет прежний вид (3.6) с переопределенными тензорными коэффициентами a_{ik} , b_{ik} и c_{ik} , а коммутационные соотношения преобразуются к виду

$$[\hat{S}_i, \hat{S}_j] = ie_{ijk}\hat{S}_k; \quad [\hat{S}_i, \hat{T}_j] = iK_{il}e_{jlm}I_{mk}^{-1}\hat{T}_k; \quad [\hat{T}_i, \hat{T}_j] = \frac{1}{4}ie_{ijl}K_{lk}\hat{S}_k, \quad (3.12)$$

где введена матрица I_{ij}^{-1} - обратная к I_{ij} , а также тензор K_{ij} , имеющий вид

$$K_{ij} = \frac{1}{n} \sum_a x_{ai}x_{aj}. \quad (3.13)$$

Как можно видеть из сравнения этого выражения с определением тензора I_{ij} (3.11), тензоры I_{ij} и K_{ij} имеют общие главные оси, однако в отличие от I_{ij} , главные значения K_{ij} могут обращаться в нуль для некоторых вырожденных случаев - например, для системы спинов, лежащих в одной плоскости или на одной прямой. В дальнейшем удобно считать, что у тензора K_{ij} хотя бы два главных значения отличны от нуля. Этого всегда можно достигнуть, если искусственно произвести слабую деформацию пространственной конфигурации спиновой системы, а в окончательных результатах устремить параметр деформации к нулю.

Как можно видеть из соотношений (3.12), операторы \hat{S}_i и \hat{T}_j образуют некоторую алгебру Ли. Чтобы установить структуру этой алгебры, следует найти соответствующую ей форму Киллинга-Картана (см., например, [10]), которая определяется следующим образом. Обозначим образующие алгебры Ли (роль которых в нашем случае играют операторы \hat{S}_i и \hat{T}_j) собирательным символом \hat{e}_I , ($I = 1, 2, \dots, 6$). Коммутационные соотношения между образующими можно записать с помощью структурных констант C_{IK}^J : $[\hat{e}_I, \hat{e}_K] = C_{IK}^J \hat{e}_J$. Тогда форма Киллинга-Картана g_{IK} определяется как свертка произведения структурных констант вида

$$g_{IK} = C_{IL}^J C_{KJ}^L. \quad (3.14)$$

Если направить оси декартовой системы координат по главным осям тензоров I_{ik} и K_{ik} и обозначить их главные значения символами I_i и K_i ($i = 1, 2, 3$), то, как можно найти с помощью соотношений коммутации (3.12), шестимерная матрица

g_{IK} будет иметь в этой системе диагональный вид, причем ее диагональные элементы выражаются через величины I_i и K_i следующим образом:

$$\text{diag}(g_{IK}) = \left\{ 2\left(1 + \frac{K_1^2}{I_2 I_3}\right); 2\left(1 + \frac{K_2^2}{I_1 I_3}\right); 2\left(1 + \frac{K_3^2}{I_1 I_2}\right); \right. \\ \left. \frac{1}{4}\left(\frac{K_2^2}{I_3^2} + \frac{K_3^2}{I_2^2}\right); \frac{1}{4}\left(\frac{K_2^2}{I_3^2} + \frac{K_3^2}{I_2^2}\right); \frac{1}{4}\left(\frac{K_2^2}{I_3^2} + \frac{K_3^2}{I_2^2}\right) \right\}. \quad (3.15)$$

Таким образом, форма Киллинга-Картана оказывается положительно определенной, что означает компактность соответствующей алгебры Ли. Как можно убедиться, шесть операторов \hat{S}_i , \hat{T}_k образуют алгебру, изоморфную алгебре ортогональных вращений 4-мерного пространства $so(4)$.

Форма Киллинга-Картана позволяет построить оператор Казимира \hat{C} рассматриваемой алгебры: $\hat{C} = g_{IK} \hat{e}_I \hat{e}_K$, коммутирующий со всеми образующими алгебры, который в нашем случае может быть представлен в виде

$$\hat{C} = g_{ik}^{(1)} \hat{S}_i \hat{S}_k + g_{ik}^{(2)} \hat{T}_i \hat{T}_k, \quad (3.16)$$

где тензоры $g_{ik}^{(a)}$ ($a = 1, 2$) имеют главные оси, совпадающие с главными осями тензора I_{ik} , а их главные значения совпадают соответственно с первой и второй тройками диагональных элементов формы g_{IK} , которые указаны в (3.15). Полученное соотношение показывает, что в системе взаимодействующих спинов длины векторов \hat{S}_i и \hat{T}_i по отдельности не являются сохраняющимися величинами. Поэтому наглядный образ движения магнитного момента по поверхности сферы в 3-мерном пространстве должен быть заменен некоторой более общей картиной.

Для дальнейших рассуждений удобно ввести операторы $\hat{\Gamma}_I$ ($I = 1, \dots, 6$)

$$\hat{\Gamma}_i = [g^{(1)}]_{ik}^{\frac{1}{2}} \hat{S}_k; \quad \hat{\Gamma}_{i+3} = [g^{(2)}]_{ik}^{\frac{1}{2}} \hat{T}_k; \quad (i = 1, 2, 3), \quad (3.17)$$

где матрицы $[g^{(a)}]^{\frac{1}{2}}$ при возведении в квадрат превращаются в $g^{(a)}$. С помощью этих операторов гамильтонова системы (3.6) и оператор Казимира (3.16) могут быть записаны в виде

$$\hat{H} = \sum_I f_I \hat{\Gamma}_I + \sum_{IK} h_{IK} \hat{\Gamma}_I \hat{\Gamma}_K; \quad \hat{C} = \sum_I \hat{\Gamma}_I^2, \quad (3.18)$$

где 6-вектор f_I пропорционален магнитному полю, а тензор h_{IK} определяется взаимодействием между спинами. Эти соотношения могут быть использованы для получения наглядной картины динамики системы. С этой целью заменим операторы \hat{S} и \hat{T} классическими векторами \vec{S} и \vec{T} , а соотношения коммутации - скобками Пуассона. Сохранение оператора Казимира означает, что классический 6-вектор Γ_I может двигаться только по поверхности сферы в 6-мерном пространстве. С другой стороны, из закона сохранения энергии (выражение для классической энергии следует первого равенства в (3.18)) можно видеть, что вектор Γ_I должен двигаться по поверхности второго порядка (для определенности

будем считать эту поверхность эллипсоидом), центр которой сдвинут относительно центра сферы на величину, пропорциональную вектору магнитного поля (точнее, β -вектору f_I). При отсутствии взаимодействия между спинами эта поверхность вырождается в плоскость $E = f_I \Gamma_I$. При слабом взаимодействии можно считать, что эта плоскость слегка деформируется, так как ее радиус кривизны обратно пропорционален малому параметру взаимодействия. Линия пересечения двух поверхностей - сферы и эллипсоида - определяет траекторию в β -пространстве, по которой будет двигаться конец вектора Γ_I . Доказательство того, что эти поверхности пересекаются, аналогично доказательству пересечения поверхностей энергии и сохраняющегося момента для асимметрического волчка, рассмотренному в [11]. В дальнейшем мы будем называть β -пространство фазовым пространством нашей системы, а координаты конца вектора Γ_I - фазовой точкой.

Рассмотрим в рамках полученной геометрической интерпретации возникновение тороидного отклика. Процесс приготовления начального состояния с хорошей степенью точности может быть рассмотрен на языке части введенного β -мерного фазового пространства - его 3-мерного подпространства, натянутого на компоненты вектора полного спина \vec{S} . Если пренебречь взаимодействием между спинами и если в начальный момент времени тороидный момент отсутствовал, то он не появится и в дальнейшие моменты времени. Поэтому в данном случае оператор Казимира вырождается и становится равным $\hat{C} = \vec{S}^2$, что на классическом языке означает движение фазовой точки по поверхности сферы в 3-мерном пространстве. Оператор Гамильтона также принимает простой вид, так что классическая энергия равна $E = -(\vec{S}\vec{H})$. Таким образом, в этом случае траектория системы представляет собой линию пересечения плоскости $-(\vec{S}\vec{H}) = -E$ и сферы $S^2 = C$ (рис. 6, а). Величина энергии E определяет расстояние от центра сферы до плоскости. До воздействия импульса переменного поля система находится в основном состоянии. При этом плоскость касается сферы в "северном" полюсе (точка А на рис. 6, а). Под действием импульса переменного поля система увеличивает свою энергию E . При этом плоскость постоянной энергии опускается из положения 1 в положение 2 и если импульс поля девятидесятиградусный, то она будет проходить через центр сферы и фазовая точка будет двигаться по окружности большого круга, лежащей на пересечении плоскости и сферы, как это показано на рис. 6а.

Чтобы получить представление о динамике спиновой системы в процессе свободной индукции (то есть после выключения импульса поля), необходимо учитывать спин-спиновое взаимодействие и рассматривать полный гамильтониан (3.18). Мы рассмотрим сравнительно простой случай, когда для описания системы достаточно всего лишь трех компонент β -вектора Γ_I , которые соответствуют компонентам S_x , S_y и T_z ; при этом считается, что все остальные компоненты $(S_z; T_x; T_y)$ были равны нулю при $t = 0$ и не появляются в последующие моменты времени. Такая ситуация возникает при определенном выборе ориентации постоянного магнитного поля относительно системы спинов - например, если система плоская, то поле должно быть направлено перпендикулярно этой плоскости. В рассматриваемом случае, в силу сохранения оператора Казимира,

фазовая точка будет двигаться по поверхности эллипсоида в 3-пространстве, натянутом на компоненты $(S_x; S_y; T_z)$. Если бы взаимодействие между спинами отсутствовало и в начальный момент времени, фазовая точка лежала бы в плоскости $(S_x; S_y)$, то она продолжала бы оставаться в этой плоскости и дальше. Однако, за счет взаимодействия, поверхность постоянной энергии не совпадает с плоскостью, и поэтому фазовая траектория выходит из плоскости $(S_x; S_y)$, то есть у системы появится отличная от нуля компонента торондного момента (рис.6,б). Таким образом, в этой картине становится понятным, что в процессе свободной индукции вектор полного спина может изменять свою длину, а магнитный момент "перекачивается" в торондный и наоборот, что качественно описывает возникновение торондного отклика спиновой системы.

Перейдем теперь к более детальному рассмотрению динамики спиновой системы в рамках введенного здесь приближенного описания. Как известно, группа $SO(4)$ распадается на прямое произведение групп $SO(3)$. Практически это означает, что с помощью линейного преобразования вместо операторов \hat{S} и \hat{T} можно ввести операторы \hat{J}_1 и \hat{J}_2 :

$$\hat{S}_i = p_{ik}\hat{J}_{1k} + q_{ik}\hat{J}_{2k}; \quad \hat{T}_i = u_{ik}\hat{J}_{1k} + v_{ik}\hat{J}_{2k}, \quad (3.19)$$

которые удовлетворяют соотношениям коммутации

$$[\hat{J}_{1i}, \hat{J}_{1j}] = ie_{ijk}\hat{J}_{1k}; \quad [\hat{J}_{2i}, \hat{J}_{2j}] = ie_{ijk}\hat{J}_{2k}; \quad [\hat{J}_{1i}, \hat{J}_{2j}] = 0. \quad (3.20)$$

С помощью этих операторов гамильтониан (3.6) может быть представлен в виде

$$\hat{H} = - \sum_a N_{ak}\hat{J}_{ai} + \sum_{a,b} A_{aibk}\hat{J}_{ai}\hat{J}_{bi}; \quad (a, b = 1, 2), \quad (3.21)$$

где тензоры A_{aibk} , выражаются через введенные в (3.6) и (3.19) тензоры a_{ik} , b_{ik} , c_{ik} , p_{ik} , q_{ik} , u_{ik} и v_{ik} , а векторы N_{ak} - пропорциональны величине однородного поля H_0 . Полученный гамильтониан формально эквивалентен гамильтониану системы двух (электрических) ядерных квадрупольей, взаимодействующих с сильными магнитными полями N_{1k} и N_{2k} и с градиентами электрического поля A_{aiaik} соответственно, а спины ядер \hat{J}_{1i} и \hat{J}_{2k} также взаимодействуют между собой. Будем рассматривать последнее слагаемое в гамильтониане (3.21) как возмущение. Без учета взаимодействия собственные состояния гамильтониана $|\Psi^{(0)}\rangle$ можно классифицировать по величинам моментов J_1 и J_2 и их проекций на направления полей \vec{N}_1 и \vec{N}_2 . Таким образом, имеем

$$|\Psi^{(0)}\rangle = |J_1 J_2 m_1 m_2\rangle; \quad E_{m_1 m_2}^{(0)} = -m_1 N_1 - m_2 N_2. \quad (3.22)$$

Мы ограничимся случаем, когда величины полей N_1, N_2 не совпадают между собой и спектр энергии невозмущенного гамильтониана не вырожден. Тогда поправки к энергии равны диагональным матричным элементам оператора возмущения

$$\Delta E_{m_1 m_2} = A'_{1z1z} m_1^2 + A'_{2z2z} m_2^2 + A_{1z2z} m_1 m_2 + A_1 J_1 (J_1 + 1) + A_2 J_2 (J_2 + 1). \quad (3.23)$$

Эти величины определяют сдвиги частот резонанса, обусловленные взаимодействиями в системе. Более подробно спиновая динамика в рамках этого описания будет рассмотрена в последующей публикации, где также будут учтены релаксационные процессы.

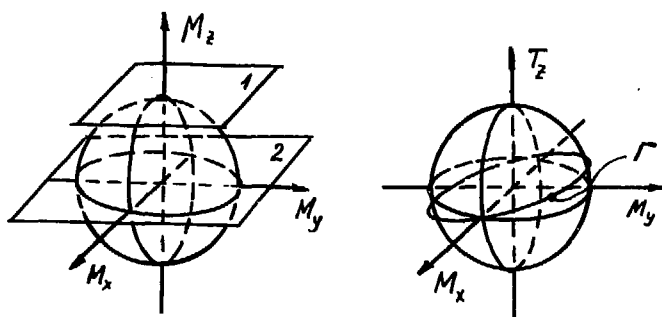


Рис.6. Фазовая поверхность спиновой системы для случая системы не взаимодействующих спинов (а) и с учетом взаимодействия в "тороидном" приближении (б).

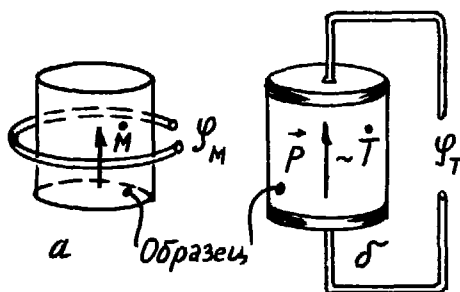


Рис.7. Принципиальная схема устройства для наблюдения магнитного (а) и тороидного (б) откликов ядерной системы.

4. Заключение

Проведенное в работе детальное рассмотрение показывает, что в процессе свободной индукции возможно наблюдать не только сигнал от прецессирующего магнитного момента образца, но также и сигнал от его тороидного момента.

Магнитный момент наблюдается стандартными методами ЯМР, в основе которых лежит измерение ЭДС, индуцируемой в приемной катушке (рис.7,а). Как было показано во Введении, величина магнитного поля в этом случае пропорциональна намагниченности образца : $H \sim M$, а ЭДС в катушке φ_M - скорости изменения магнитного потока, то есть

$$\varphi_M \approx \frac{\omega}{c} M L^2, \quad (4.1)$$

где L^2 - площадь поперечного сечения катушки, которую мы считаем по порядку величины равной квадрату размера образца L . Вследствие переменной тороидной поляризации образца возникает электрическая составляющая поля, как это было рассмотрено во Введении. Нетрудно показать, что разность потенциалов на обкладках конденсатора (рис. 7, б) по порядку величины составит

$$\varphi_T \approx 4\pi P L \approx 4\pi T L \frac{\omega}{c}. \quad (4.2)$$

С помощью полученных формул может быть оценено отношение магнитного и тороидного сигналов :

$$\frac{\varphi_T}{\varphi_M} = \frac{4\pi \frac{\omega}{c} T L}{\frac{\omega}{c} M L^2} \sim \frac{a}{L}, \quad (4.3)$$

где было принято для оценки, что $T \sim M a$, где a - размер спиновой системы. Величина размера a определяется радиусом пространственной корреляции системы спинов. Если спины не коррелированы, то величина тороидного сигнала усредняется до нуля. Если же a возрастает (например, при возрастании пространственных флуктуаций взаимодействующих частиц в процессе фазового перехода жидкость - твердое тело), то, соответственно, будет возрастать и величина сигнала тороидного отклика.

Таким образом, проведенное рассмотрение показывает что наблюдение тороидного отклика дает новую возможность исследования пространственных корреляций в спиновой системе и тем самым расширяет сферу применения ЯМР.

Литература

1. Сликтер Ч. *Основа теории магнитного резонанса*. Изд. 2-ое. М.: Мир - 1981. 448с.
 2. Дубовик В. М., Чешков А. А. . *Мультипольные разложения в классической и в квантовой теории поля и излучение* // Физ. элем. частиц и ат. ядра (ЭЧАЯ), 1974, 5, в.3, с.791-837.
- Dubovik V. M. , Shabanov S. V. . *The gauge invariance, radiation and toroid order parameters in electromagnetic theory* // In spetial issue "Essays on the formal aspects of electromagnetic theory". Ed. A. Lakhtakia, Singapore: WS, 1992, p.21-79.

3. Дубовик В. М., Тосунян Л. А.. *Тороидные моменты в физике электромагнитных и слабых взаимодействий* // Физ. элем. частиц и ат. ядра (ЭЧАЯ), 1983, 14, в.5, с.1193-1228.
4. Dubovik V. M., Tugushev V. V.. *Toroid moments in electrodynamics and solid-state physics*// Phys. Reports, 1990, 187, n.4, p.145-202.
5. Sleator T., Hahn E. L., Heaney M. B., Hilbert C., Clarke J. *Nuclear-quadrupole induction of atomic polarisation*. Phys.Rev. 1988, V.38B, n. 13, p. 8609-8624.
6. Дубовик В. М., Лунегов И. В., Марценюк М. А. *Тороидное возбуждение ядерного. Препринт ОИЯИ Р14-92-321* Дубна: Из-во ОИЯИ, 1992. 16с.
Dubovik V. M., Lunegov I. V., Martsenyuk M. A. *Toroidal excitation of nuclear magnetic resonance*. Extended abstracts of XXVI Congress AMPERE (Athens, september 1992). Athens, 1992. P. 587 - 588.
7. Дубовик В. М., Лунегов И. В., Марценюк М. А. *Отклик ядерной спиновой системы на импульсное воздействие вихревым магнитным полем* // Сб. "Радиоспектроскопия", ред. проф. И.Г.Шапошников. Пермь : Из-во Перм. универс.-1993. с.38-50.
8. Ландау Л. Д., Лифшиц Е. М. *Квантовая механика. Нерелятивистская теория*. Изд. 4-е. М. : Наука, 1989. 768с.
9. Дубовик В. М., Марценюк М. А., Марценюк Н. М. *Тороидная поляризуемость агрегированных магнитных суспензий и композитов магнитных частиц*. Физ. элем. частиц и ат. ядра. 1993. В.4.
10. Желобенко Д. П., Штерн А. И. *Представления групп Ли*. - М.:Наука, 1983.
11. Ландау Л. Д., Лифшиц Е. М. *Механика*. - М.:Наука, 1988. С.150.

Рукопись поступила в издательский отдел

30 июня 1993 года.